

บรรณานุกรม

ภาษาไทย

- [1] ดร. ไสว ค่านชัยวิจิตร, เอกสารประกอบการสอน วิชา Powder Metallurgy ภาควิชาวิศวกรรมโลหะการคณาจารย์ จุฬาลงกรณ์มหาวิทยาลัย
- [2] รศ.บวรเดช ศรนิล, รศ.สมนึก วัฒนศรียกุล, ตารางคู่มืองานโลหะ (Tabellenbuch Metall), ศูนย์ผลิต ตำราเรียน สถาบันเทคโนโลยีพระจอมเกล้าพระนครเหนือ, 2549.
- [3] นกิสพร มีมงคล, ໂທກຣມວັສຄຸພາງ (Powder Metallurgy), สำนักหอสมุด มหาวิทยาลัยเทคโนโลยีพระจอมเกล้าธนบุรี, 2548; 123 – 124.
- [4] เอกสารสถาบันไทย-เยอรมันร่วมเทคโนโลยีแม่พิมพ์โลหะ, 2545.
- [5] รศ.วันชัย จันทรวงศ์, ระบบนิวเมติกส์และไฮดรอลิกส์, สถาบันเทคโนโลยีพระจอมเกล้าพระนครเหนือ, 2542.
- [6] ลดาวัลย์ ณ น่าน, วทัญญา สุขสูงเนิน, ชวัชชัย ทองรอด, การศึกษาความเป็นไปได้ในการลงทุนเชิงเศรษฐศาสตร์วิศวกรรมในกระบวนการผลิตโลหะผงหังสแตนคาร์ไบด์, มหาวิทยาลัยเทคโนโลยีราชมงคลพระนคร, 2552.

ចំណាំ

- [7] Kieffer, B.F. and Lassner, E. Tungsten Recycling in Today's Environment. Canada : Canadian Agriculture Library, 1994.
- [8] Gerald R. Smith , Materials Flow of Tungsten in the United States. Bureau of mines information circular, 1994
- [9] Erik Lassner and Wolf-Dieter Schubert, Tungsten Properties, Chemistry, Technology, of the Element, Alloy, and Chemical Compounds. Vienna,Austria,1999.
- [10] Jing-Chie Lin; Jaiann-Yuan Lin; Sheng-Long Lee, all of Chung-Li, Taiwan, Prov. of China, Process for Recovering Tungsten Carbide from Cemented Tungsten Carbide scraps by selective Electrolysis, US. Patent, 5384016.
- [11] Jing-Chie Lin, Jain-Yuan Lin, Shie-Pei Jou, Selective dissolution of the cobalt binder from Scraps of cemented tungsten carbide in acids containing additives, Hydrometallurgy 43 (1996) 47-61.
- [12] A. E. McHale, "Phase Equilibria Diagrams – Phase Diagrams for Ceramists", Vol. 10, Fig. 8969, The American Ceramic Society, Westerville, Ohio, 1994.
- [13] B.F. Kieffer and E. Lassner. Tungsten recycling in today environment. United States, 1994.
- [14] Clarence D. Vanderpool, Tai K. Kim, Electrolytic Method for Producing Ammonium Paratungstate from Cemented Tungsten Carbide, US Patent, 5,021,133 , 1991
- [15] J.C. Lin, J.Y. And Lee S.L., "Process for Recovering Tungsten Carbide from Cemented Carbide Scraps by Selective Electrolysis", US Patent, 5.384.016, 1995.
- [16] C. Edtmaier, R. Schiesser, C. Meissl, W.D. Schubert, A. Bock, A. Schoen, B. Zeiler. Selective removal of the cobalt binder in WC/Co based hardmetal scraps by acetic acid leaching. Vienna, Austria, 2005.
- [17] M ohammad H. Ghandehari, Salt Lake City, Utah; Mortimer Schussler, Process for recovering metal carbide powder from cemented carbide, US. Patent, 4,234,333, 1980.
- [18] C.M. Fernandes, A.M.R. Senos, Cemented carbide phase diagrams: A review, Int. Journal of Refractory Metals and Hard Materials 29 (2011) 405-418.

- [19] P. Schade, 100 years of doped tungsten wire, Int. Journal of Refractory Metals and Hard Materials 28 (2010) 648–660.
- [20] Holleck H. Constitutional aspects in the development of new hard materials; 1983.p. 849-61.
- [21] Guillermet AF. Thermodynamic properties of the Co-W-C system. MetallTrans 1989;20A:935-56.
- [22] C. Suryanarayana, Mechanical alloying and milling, Progress in Materials Science 46 (2001) 1-184.
- [23] Clarence D. Vanderpool, Tai K. Kim, Electrolytic Method for Producing Ammonium Paratungstate from Cemented Tungsten Carbide, US Patent, 5,021,133 , 1991.
- [24] T.B. Massalski (Ed.), Binary Alloy Phase Diagrams, Vol. 1: Alloys, Vol. 2: Phase Diagrams, ASM International, Materials Park, OH 1990, p. 1116.
- [25] Keshavanet.al “Composition cemented carbide” US. Patent 5,593,474.
- [26] T. KOJIMA, T. SHIMIZU, R. SASAI, H. ITOH, Recycling process of WC-Co cermets by hydrothermal Treatment, Nagoya University, Furo-cho, Chikusa-ku, Nagoya 464-8603, Japan 2005.
- [27] Ralf-Peter Herber, Wolf-Dieter Schubert *, Benno Lux, Hardmetals with “rounded” WC grains, Getreidemarkt 9, 1060 Vienna, Austria, International Journal of Refractory Metals & Hard Materials 24 (2006) 360–364.
- [28] S.F. Moustafa a, $\hat{\text{I}}$, Z. Abdel-Hamid a, Osama G. Baheig a, A. Hussien, Synthesis of WC hard materials using coated powders, Advanced Powder Technology xxx (2010) 1–6.
- [29] Zhonglai Yi, Gangqin Shao*, Xinglong Duan, Peng Sun, Xiaoliang Shi, Zhen Xiong and Jingkun Guo, Preparation of WC-Co Powder by Direct Reduction and Carbonization, China Particuology Vol. 3, No. 5, 286-288, 2005.
- [30] Huang Ze-Lan b, Liu Gang-b, Yang Gui-Bin, Preparing nano-crystalline rare earth doped WC/Co powder by high energy ball milling, Liu Sha a, International Journal of Refractory Metals & Hard Materials 24 (2006) 461–464.

- [31] G. Prabhu, Amitava Chakraborty, Bijoy Sarma, Microwave sinter of tungsten, Int. Journal of Refractory Metals & Hard Materials 27 (2009) 545–548.
- [32] Stephen A. Hewitt *, Tahar Laoui, Kevin K. Kibble, Effect of milling temperature on the synthesis and consolidation of nanocomposite WC–10Co powders, Int. Journal of Refractory Metals & Hard Materials 27 (2009) 66–73.
- [33] Stephen A. Hewitt *, Kevin A. Kibble, Effects of ball milling time on the synthesis and consolidation of nanostructured WC–Co composites, Int. Journal of Refractory Metals & Hard Materials 27 (2009) 937–948.
- [34] Dmytro Demirskyi a,b,* , Andrey Ragulya b,1 , Dinesh Agrawal, Initial stage sintering of binderless tungsten carbide powder under microwave radiation, Ceramics International 37 (2011) 505–512.
- [35] Kuo-Ming Tsai, Chung-Yu Hsieh, Horng-Hwa Lu, Sintering of binderless tungsten carbide, Ceramics International 36 (2010) 689–692.
- [36] Wenbin Liu, Xiaoyan Song, Jiuxing Zhang, Guozhen Zhang, Xuemei Liu, Preparation of ultrafine WC–Co composite powder by in situ reduction and carbonization reactions, Int. Journal of Refractory Metals & Hard Materials 27 (2009) 115–120.
- [37] Jianhui Yuan, Yingchun Zhu*, Xuebing Zheng, Heng Ji, Tao Yang, Fabrication and evaluation of atmospheric plasma spraying WC–Co–Cu–MoS₂ composite coatings, Journal of Alloys and Compounds 509 (2011) 2576–2581.
- [38] Zhu Baojun *, Qu Xuanhui, Tao Ying, Powder injection molding of WC–8%Co tungsten cemented carbide, International Journal of Refractory Metals & Hard Materials 20 (2002) 389–394.
- [39] X.L. Shi □, G.Q. Shao, X.L. Duan, Z. Xiong, H. Yang, Characterizations of WC–10Co nanocomposite powders and subsequently sinterhip sintered cemented carbide, Materials Characterization 57 (2006) 358–370.

- [40] C.M. Fernandes a, A.M.R. Senos a, M.T. Vieira, Sintering of tungsten carbide particles sputter-deposited with stainless steel, International Journal of Refractory Metals & Hard Materials 21 (2003) 147-154.
- [41] Jinfeng Zhao, Troy Holland, Cosan Unuvar 1, Zuhair A. Munir, Sparking plasma sintering of nanometric tungsten carbide, Int. Journal of Refractory Metals & Hard Materials 27 (2009) 130–139.
- [42] Gwan-Hyoung Lee, Shinhoo Kang, Sintering of nano-sized WC–Co powders produced by a gas reduction–carburization process, Journal of Alloys and Compounds 419 (2006) 281–289.
- [43] B. Ratna Sunil, D. Sivaprahasam, R. Subasri, Microwave sintering of nanocrystalline WC–12Co: Challenges and perspectives, Int. Journal of Refractory Metals & Hard Materials 28 (2010) 180–186.
- [44] D.L. Coats, A.D. Krawitz, Effect of particle size on thermal residual stress in WC/Co composite, Materials and Engineering A359 (2003) 338/34.
- [45] A.K. Nanda Kumar a,* , M. Watabe b, K. Kurokawa, The sintering kinetics of ultrafine tungsten carbide powders, Ceramics International 37 (2011) 2643–2654.
- [46] Sankaran Venkateswaran, Wolf-Dieter Schubert & Benno Lux, W-Scrap Recycling by the Melt Bath Technique, Int. J. of RefractmMy etals & Hard Materials 14 (1996) 263-270.
- [47] Jae-chun Lee a, Eun-young Kim a, Ji-Hye Kim a, Wonbaek Kim a, Byung-Soo Kim a, Banshi D. Pandey, Recycling of WC–Co hardmetal sludge by a new hydrometallurgical route, Recycling of WC–Co hardmetal sludge by a new hydrometallurgical route.
- [48] Zhengui Yao, Jacob J. Stiglich and T. S. Sudarshan Materials Modification, Inc. “Nano-grained Tungsten Carbide-Cobalt (WC/Co).
- [49] Guillermet AF. Thermodynamic properties of the Co-W-C system. Metall Trans 1989; 20A:935-56.
- [50] Zhuzhou cemented carbide group copp.ltd.
- [51] <http://www.alldyne.com/catalog/TungstenCarbidePowder.asp>
- [52] http://guru.sanook.com/search/knowledge_search.php?qID3084#สารานุกรมไทย_เล่มที่_28.
- [53] <http://www.kitiwatana.com/th/>

[54] นานพ ตันตระบัณฑิตย์, วัสดุวิศวกรรม (ฉบับปรับปรุง).กรุงเทพฯ, สมาคมส่งเสริมเทคโนโลยี (ไทย – ญี่ปุ่น), 2545.

[55] <http://www.siaminstrument.com/>

[56] www.advancematerial.us

[57] <http://www.thaiceramicsociety.com/>

[58] www.fritsch.de

[59] <http://sbheater.com/finned.asp>

[60] <http://endecotts.com>

[61] http://www.durmat.com/Produktlisten/Productlist_english.pdf

[62] บริษัท All Allegheny Technologies, Inc

[63] <http://www.carbideinsert.net/2010/06/04/carbide-inserts-2/>

[64] Inframat advanced material LLC

[65] <http://mrcarbide.en.alibaba.com/>

[66] [http://www.viboon.org/](http://www.viboon.org)

[67] <http://www.mrcarbide.en.alibaba.com/>

[68] Catalogue MITSUBISHI CARBIDE CO, LTD

[69] Catalogue SANDVIK THAILAND CO., LTD

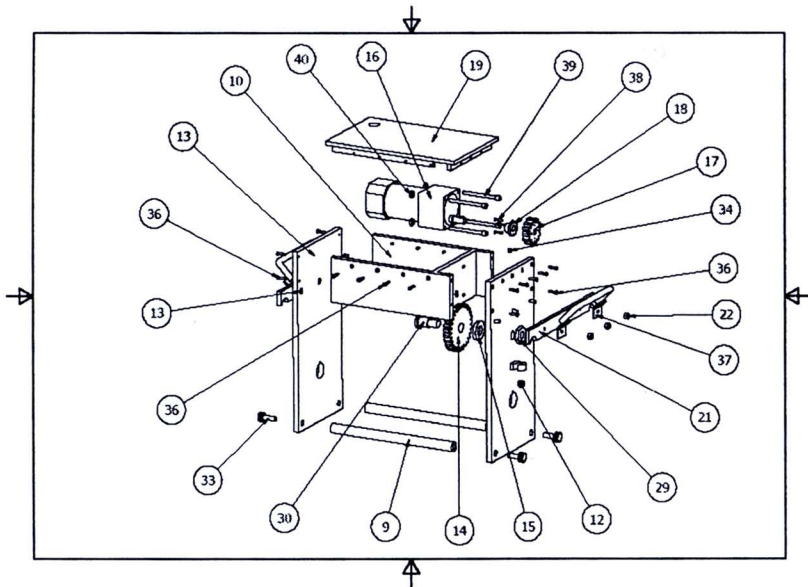
[70] http://guru.sanook.com/search/knowledge_search.php?select.

[71] [<http://www.kmitl.ac.th/~kssutha/>]

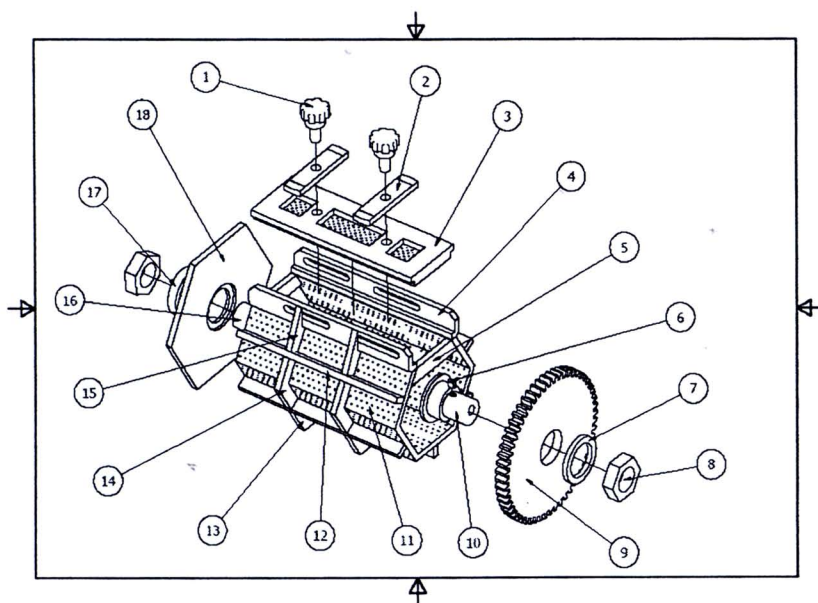


ภาคผนวก ก

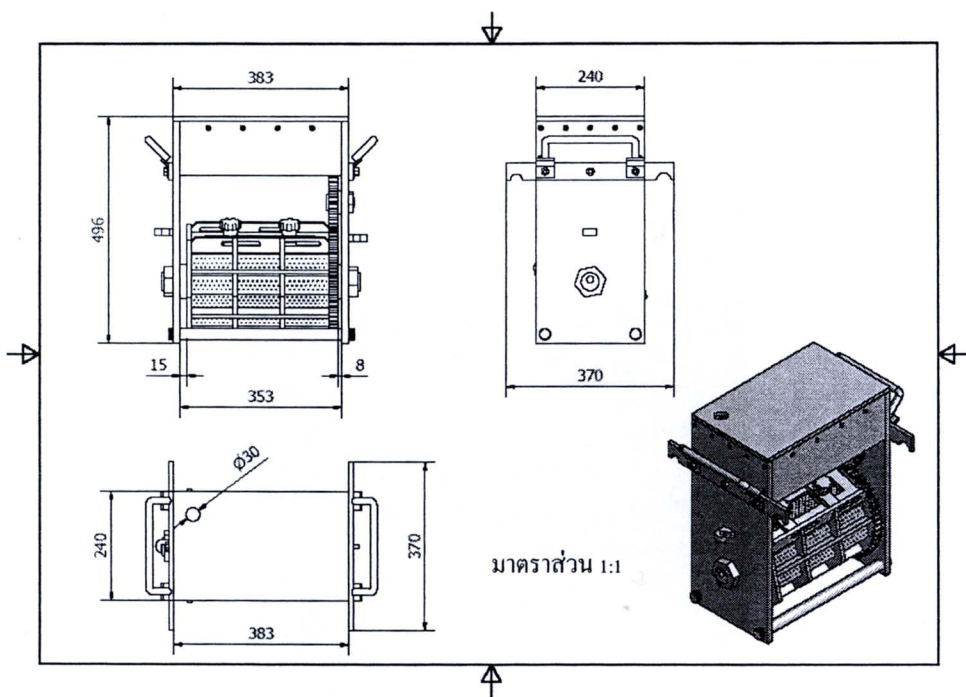
แบบชิ้นส่วนเครื่องแยกสายเศษชีเมนต์คาร์บอนด์



รูปที่ ก.1 แสดงชิ้นส่วนโครงเครื่องแยกสายเศษโลหะชีเมนต์คาร์บอนด์



รูปที่ ก.2 แสดงส่วนประกอบถังบรรจุชิ้นงาน (Barrel) พร้อมเพ่องและแผ่นประกอบท้าย Barrel

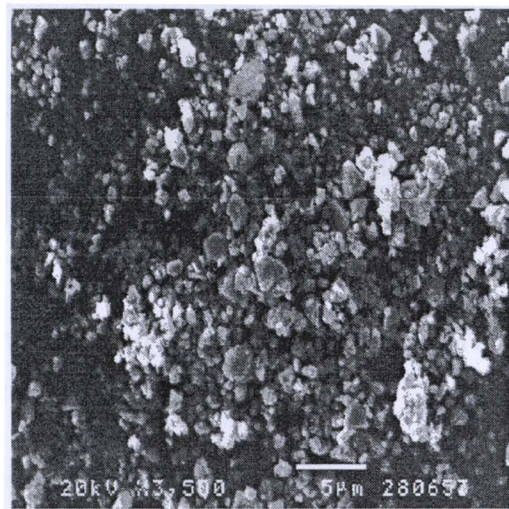


รูปที่ ก.3 ชุดเครื่องแยกสายเศษโลหะชีเมนต์คาร์บิบด'

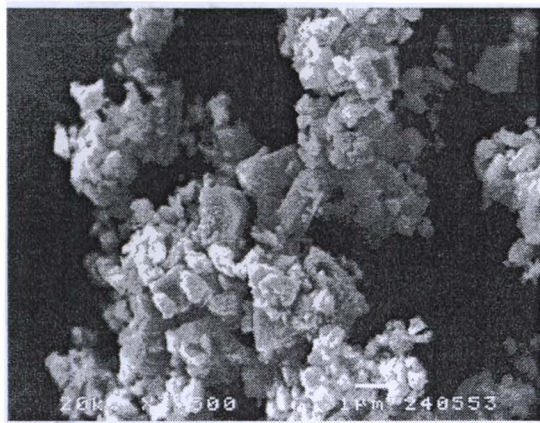
ภาคผนวก ข

ผลการตรวจวิเคราะห์สมบัติโลหะผงทั้งสเตนкар์ไบค์

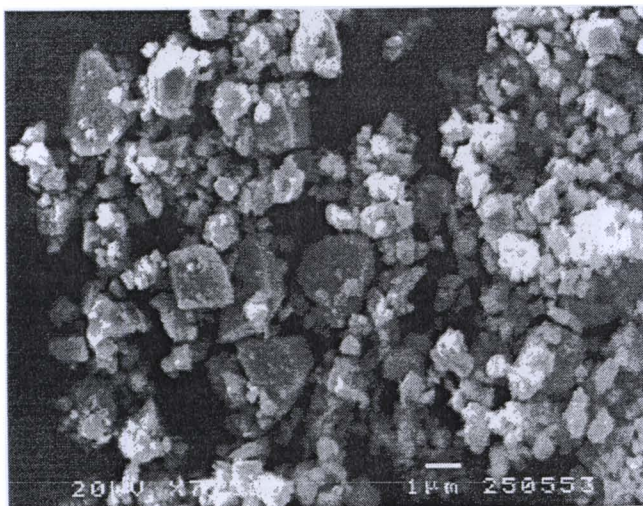
- ผลการทดสอบโลหะผงทั้งสเตนкар์ไบค์ด้วยเทคนิค Scanning Electron Microscope (SEM)



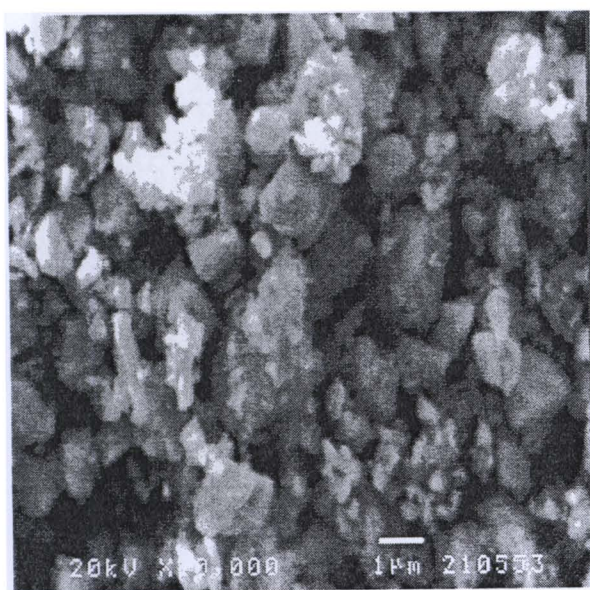
รูปที่ ข.1 โลหะผงหลังการแยกสลาย กำลังขยาย 3,500 เท่า แยกสลายด้วยปัจจัยแรงดันไฟฟ้า 1.0 V อุณหภูมิ 50 °C สารละลาย HCl ความเข้มข้น 5 N



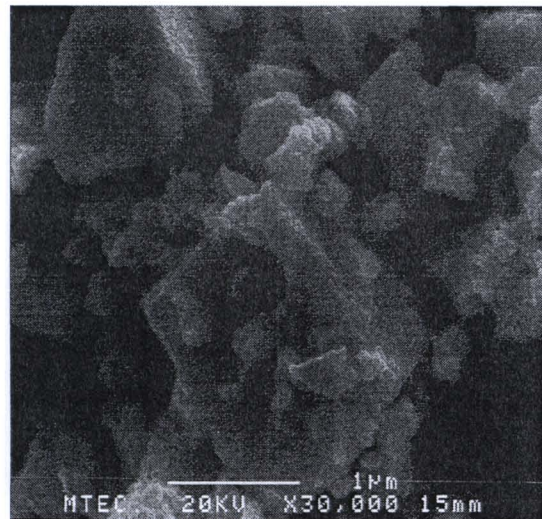
รูปที่ ข.2 โลหะผงหลังการแยกสลาย กำลังขยาย 7,500 เท่า แยกสลายด้วยปัจจัยแรงดันไฟฟ้า 0.2 V อุณหภูมิ 30 °C สารละลาย HCl ความเข้มข้น 3 N



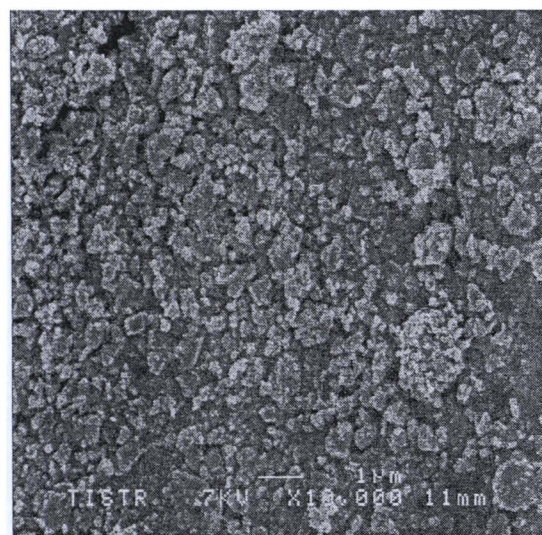
รูปที่ ข.3 โลหะผงหลังการแยกสลาย กำลังขยาย 7,500 เท่า แยกสลายด้วยปัจจัยแรงดันไฟฟ้า 1.0 V
อุณหภูมิ 50 °C สารละลายน HCl ความเข้มข้น 3 N



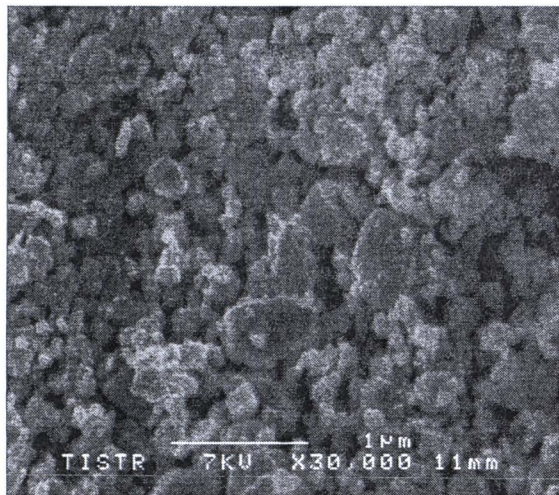
รูปที่ ข.4 โลหะผงหลังการแยกสลาย กำลังขยาย 10,000 เท่า แยกสลายด้วยปัจจัยแรงดันไฟฟ้า
1.2 V อุณหภูมิ 30 °C สารละลายน HCl ความเข้มข้น 1 N



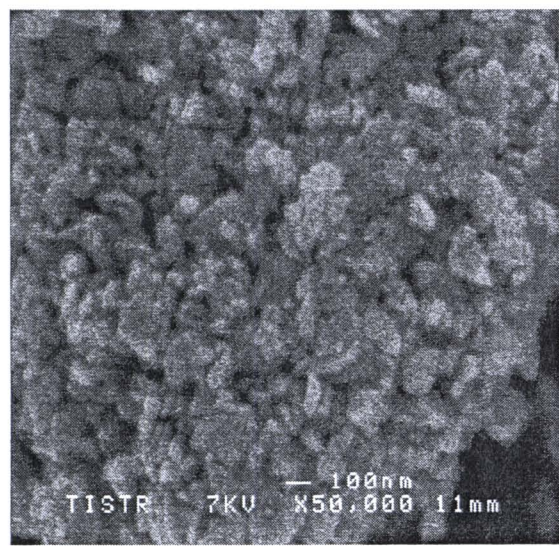
รูปที่ ข.5 โลหะผงหลังการแยกสลาย กำลังขยาย 10,000 เท่า แยกสลายด้วยปัจจัยเร่งคันไฟฟ้า 1.0 V อุณหภูมิ 70 °C สารละลาย HCl ความเข้มข้น 7 N



รูปที่ ข.6 โลหะผงหลังการบด 12 ชั่วโมง กำลังขยาย 10,000 เท่า แยกสลายด้วยปัจจัยเร่งคันไฟฟ้า 1.0 V อุณหภูมิ 50 °C สารละลาย HCl ความเข้มข้น 1 N

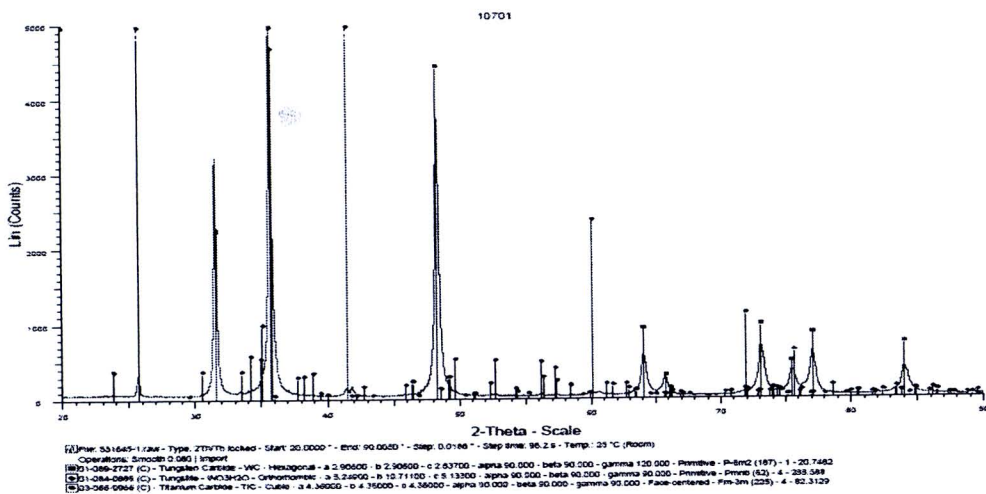


รูปที่ ข.7 โลหะผงหลังการบด 12 ชั่วโมง กำลังขยาย 30,000 เท่า แยกสลายด้วยปั๊จจัย
แรงดันไฟฟ้า 1.0 V อุณหภูมิ 50 °C สารละลายน HCl ความเข้มข้น 1 N

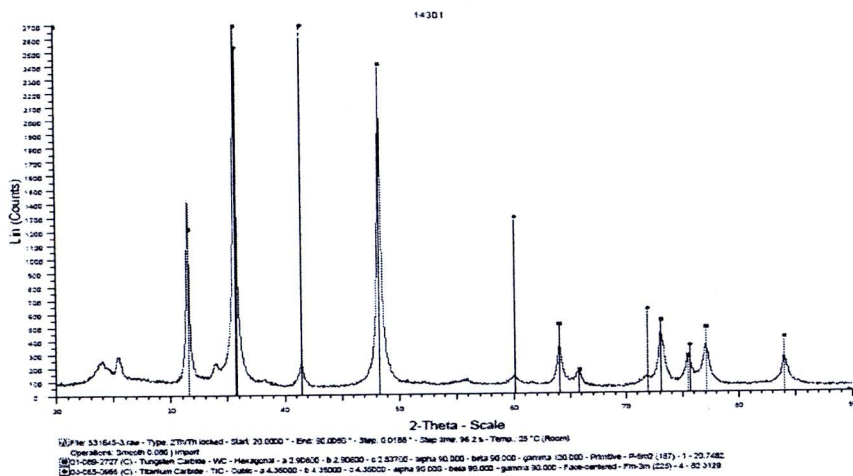


รูปที่ ข.8 โลหะผงหลังการบด 24 ชั่วโมง กำลังขยาย 30,000 เท่า แยกสลายด้วยปั๊จจัย
แรงดันไฟฟ้า 1.0 V อุณหภูมิ 50 °C สารละลายน HCl ความเข้มข้น 1 N

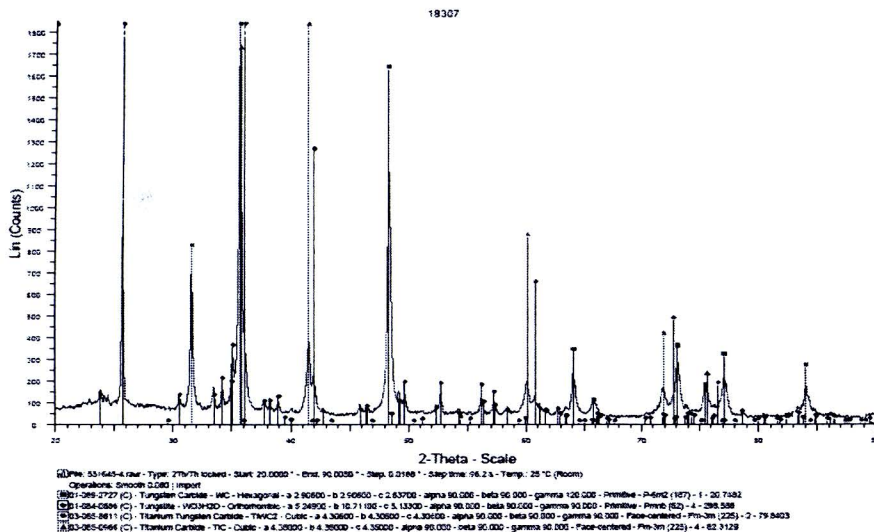
2. ผลการทดสอบโลหะผงทั้งส坚韧การ์ไบด์ด้วยเทคนิค X-Ray Diffract meter (XRD)



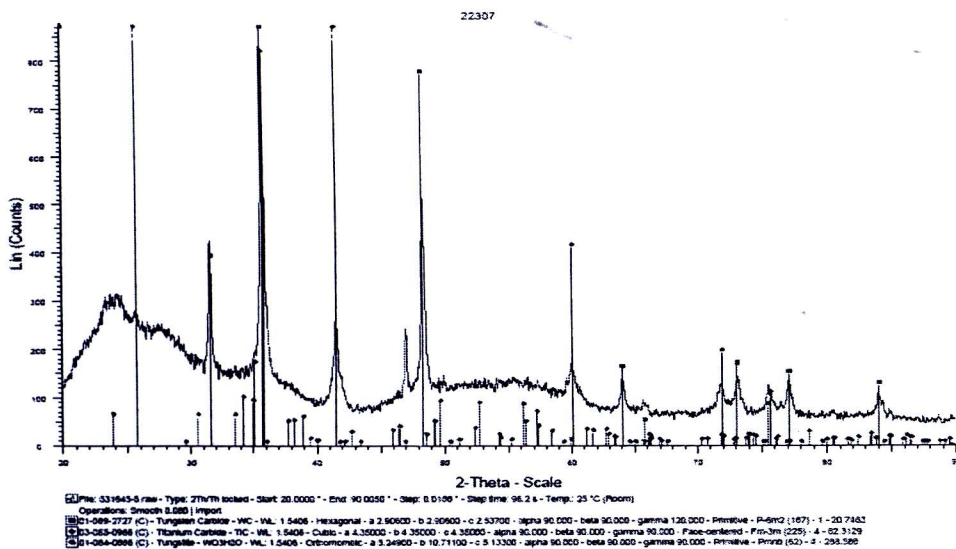
รูปที่ ข.9 ผลการตรวจสอบผงโลหะด้วย X-ray Diffractrometer (XRD) ที่แรงดัน 1.0 โวลต์ อุณหภูมิ 30 องศาเซลเซียส กรดไฮโดรคลอริกความเข้มข้น 7 N



รูปที่ ข.10 ผลการตรวจสอบผงโลหะด้วย X-ray Diffractrometer (XRD) ที่แรงดัน 1.4 โวลต์ อุณหภูมิ 30 องศาเซลเซียส กรดไฮโดรคลอริกความเข้มข้น 1 N

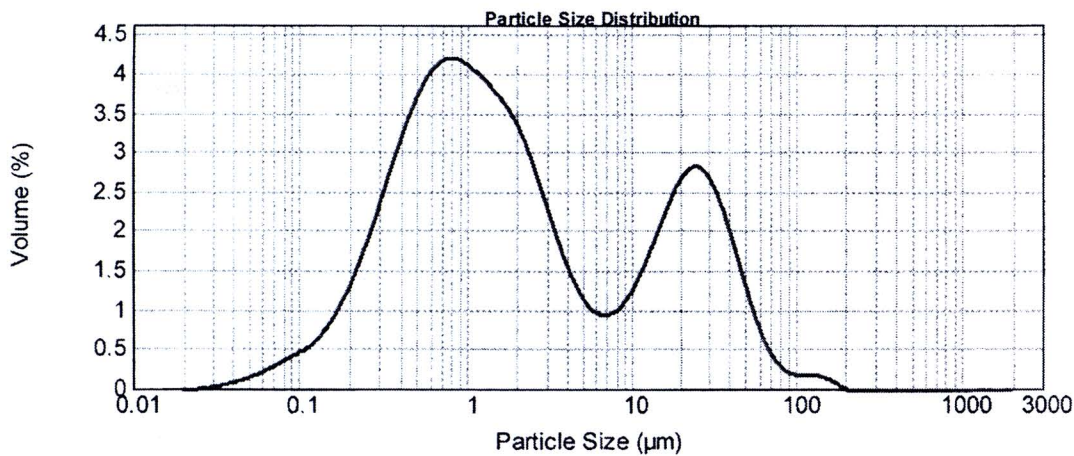


รูปที่ ข.11 ผลการตรวจสอบโลหะด้วย X-ray Diffractrometer (XRD) ที่แรงดัน 1.8 โวลต์ อุณหภูมิ 30 องศาเซลเซียส กรดไฮโดรคลอริกความเข้มข้น 7 N

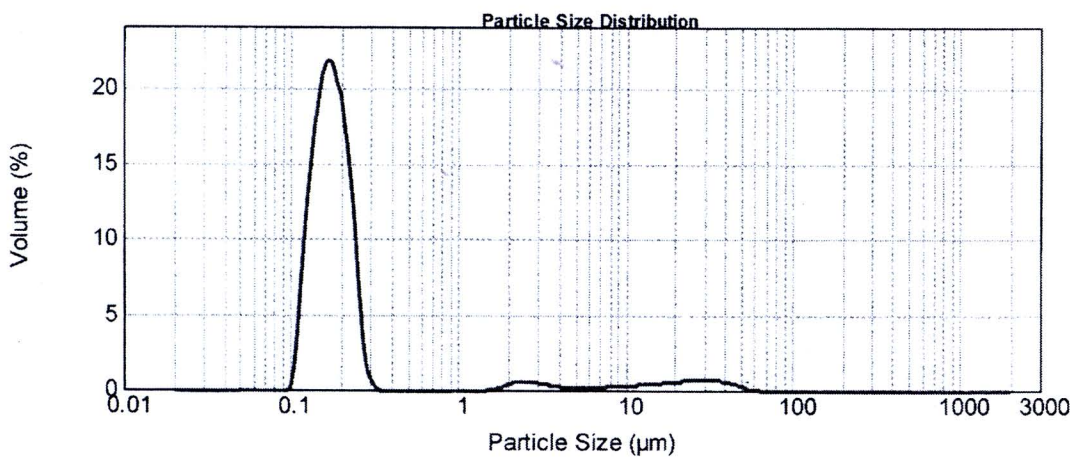


รูปที่ ข.12 ผลการตรวจสอบโลหะด้วย X-ray Diffractrometer (XRD) ที่แรงดัน 2.2 โวลต์ อุณหภูมิ 30 องศาเซลเซียส กรดไฮโดรคลอริกความเข้มข้น 7 N

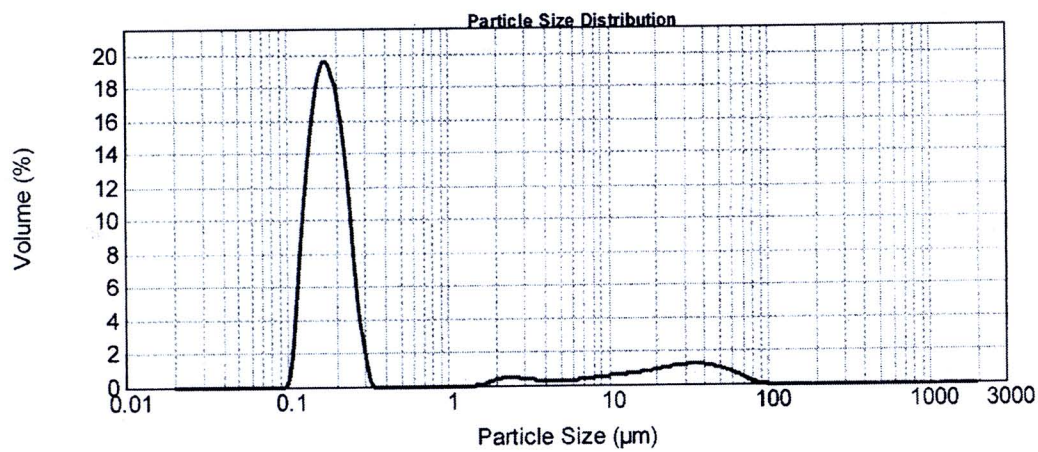
3. ผลการตรวจสอบขนาดและการกระจายตัวของโลหะผงทั้งสเตนคาร์ไบด์



รูปที่ ข.13 ผลการทดสอบขนาดและการกระจายตัวของโลหะผงที่ แรงดัน 1.2 โวลต์ อุณหภูมิ 30°C กรณีไชโตรคลอริกความเข้มข้น 1 N



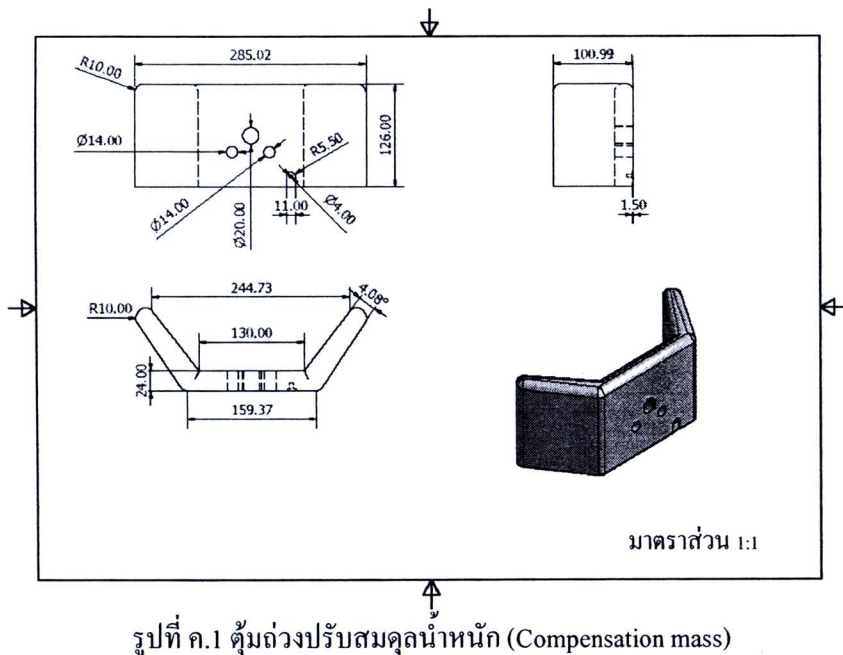
รูปที่ ข.14 ผลการตรวจสอบขนาดและการกระจายตัวของโลหะผงที่ แรงดัน 0.4 โวลต์ อุณหภูมิ 30°C กรณีไชโตรคลอริกความเข้มข้น 1 N (โลหะผงหลังบด)



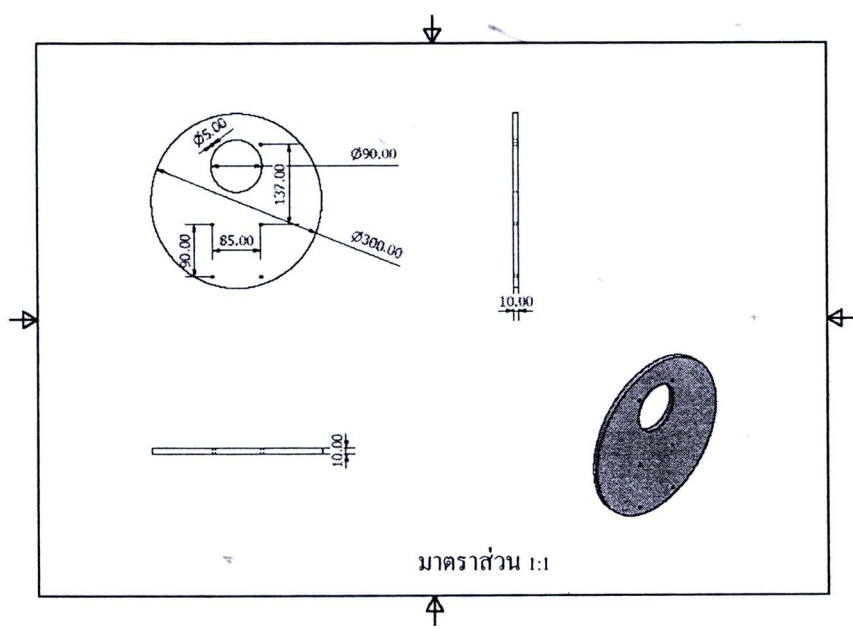
รูปที่ ข.15 แสดงผลการตรวจสอบขนาดและการกระจายตัวของลักษณะที่ แรงดัน 1.2 โวลต์
อุณหภูมิ 30 °C กรณีไออกซิเจนเข้มข้น 1 (โลหะผงหลังบด)



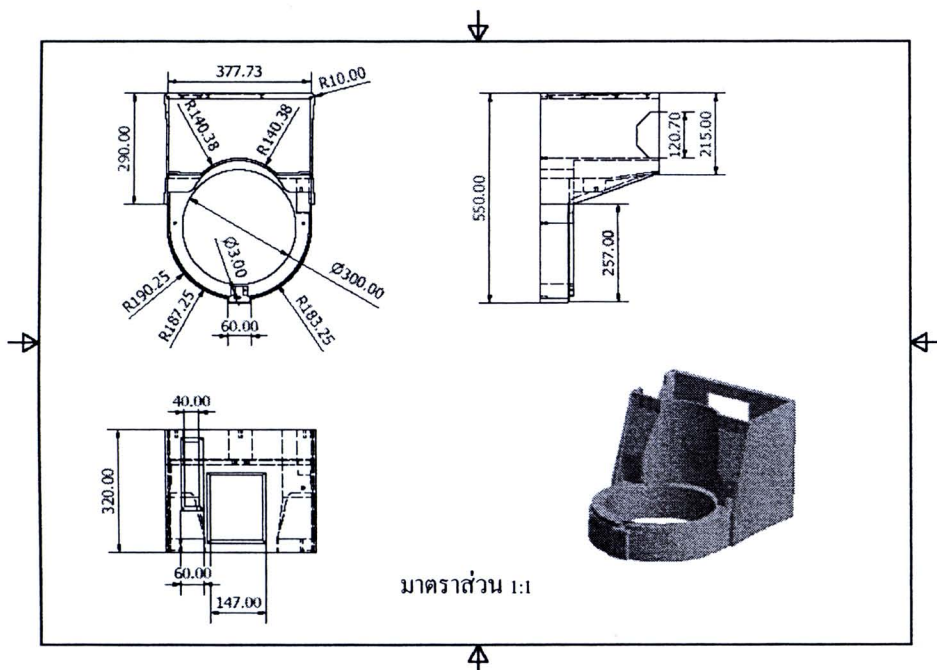
ภาคผนวก ก
การออกแบบชิ้นส่วนเครื่องบดโลหะผงทั้งสเตนคาร์ไบด์



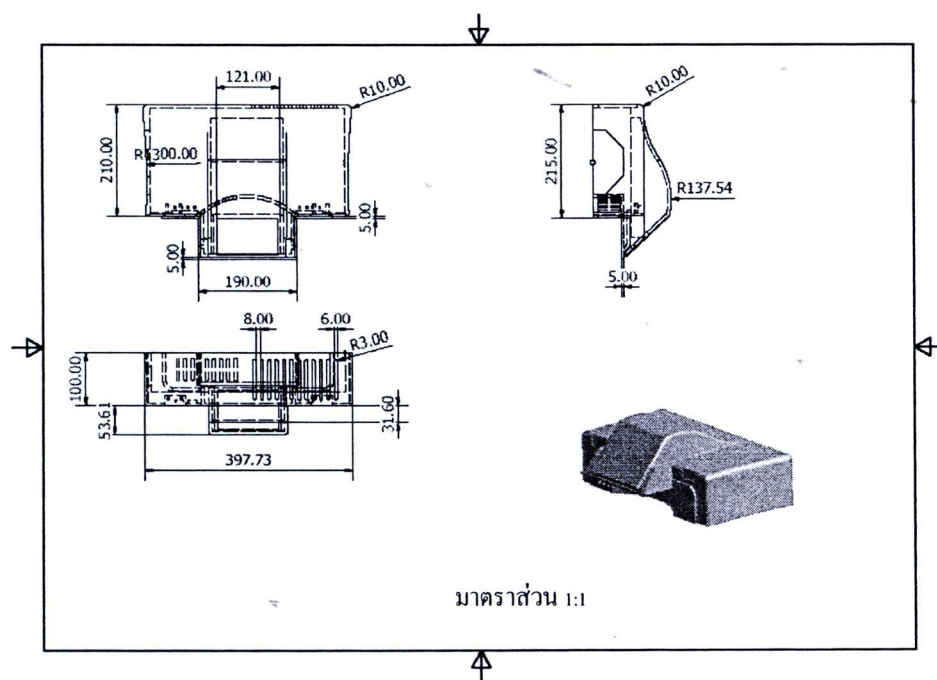
รูปที่ ก.1 ตุ้มถ่วงปรับสมดุลนำหนัก (Compensation mass)



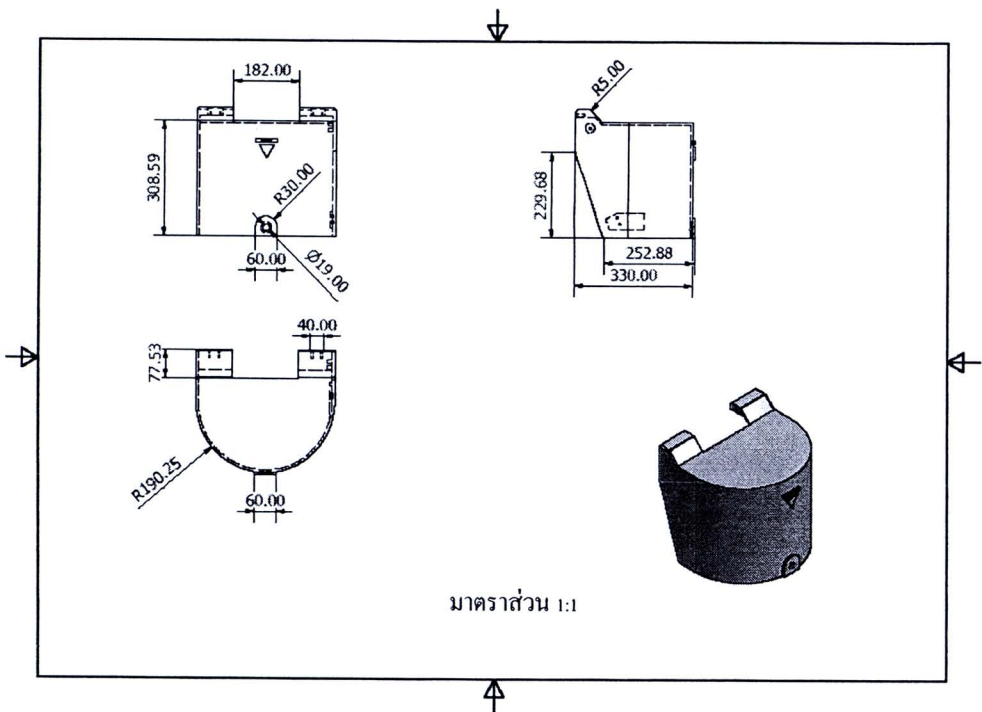
รูปที่ ก.2 จานหมุนหลัก (Cover plate)



รูปที่ ก.3 โครงเครื่องบดโลหะผงทั้งสteenคาร์บอน



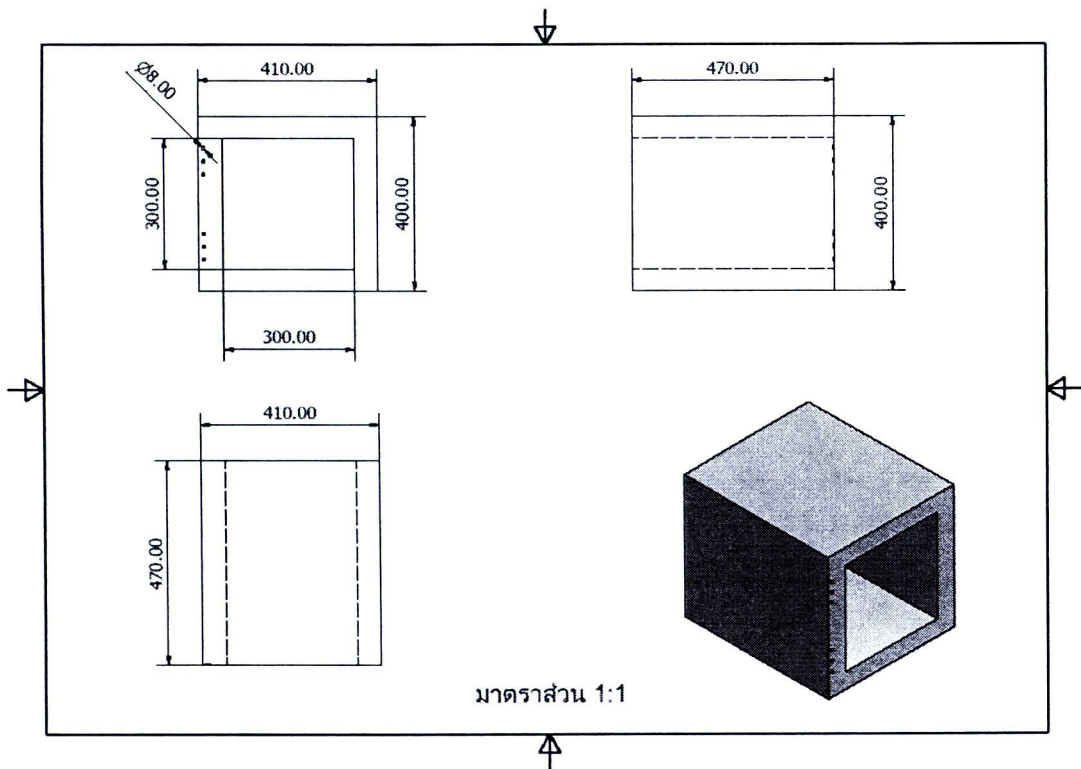
รูปที่ ก.4 รูปชิ้นส่วนฝาครอบด้านบนเครื่องบด



รูปที่ ค.5 รูปชิ้นส่วนฝาครอบด้านหน้าเครื่องบด

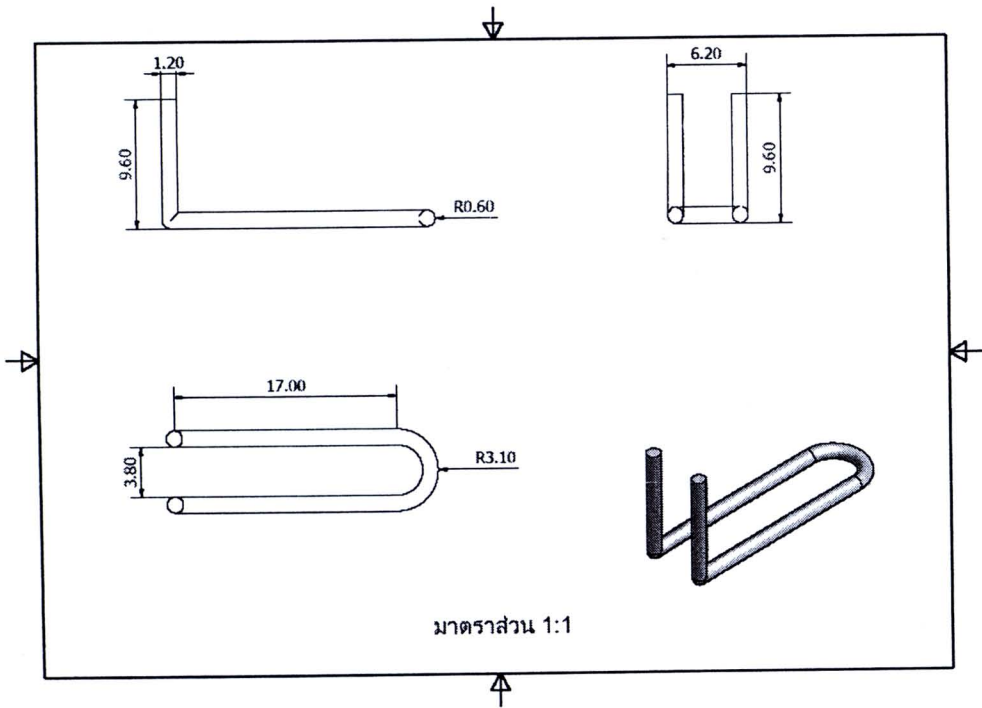
ภาคผนวก ง

การออกแบบส่วนประกอบเตาอบระบบควบคุมการเกิดอุ่นไชค์

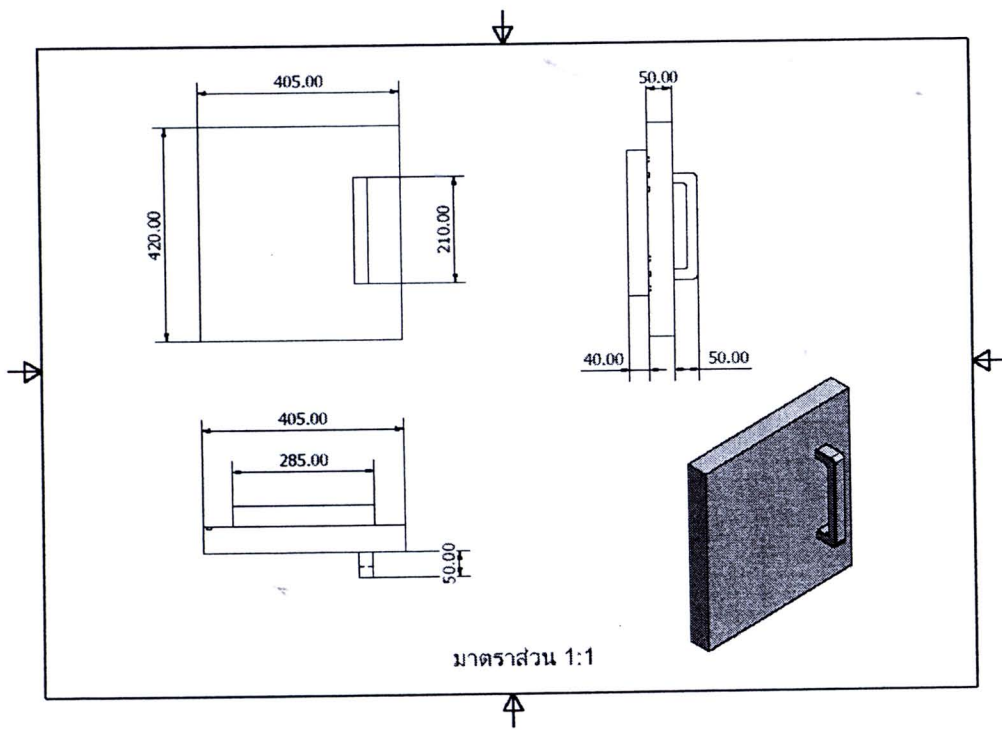


รูปที่ ง.1 โครงเตาอบระบบควบคุมการเกิดอุ่นไชค์

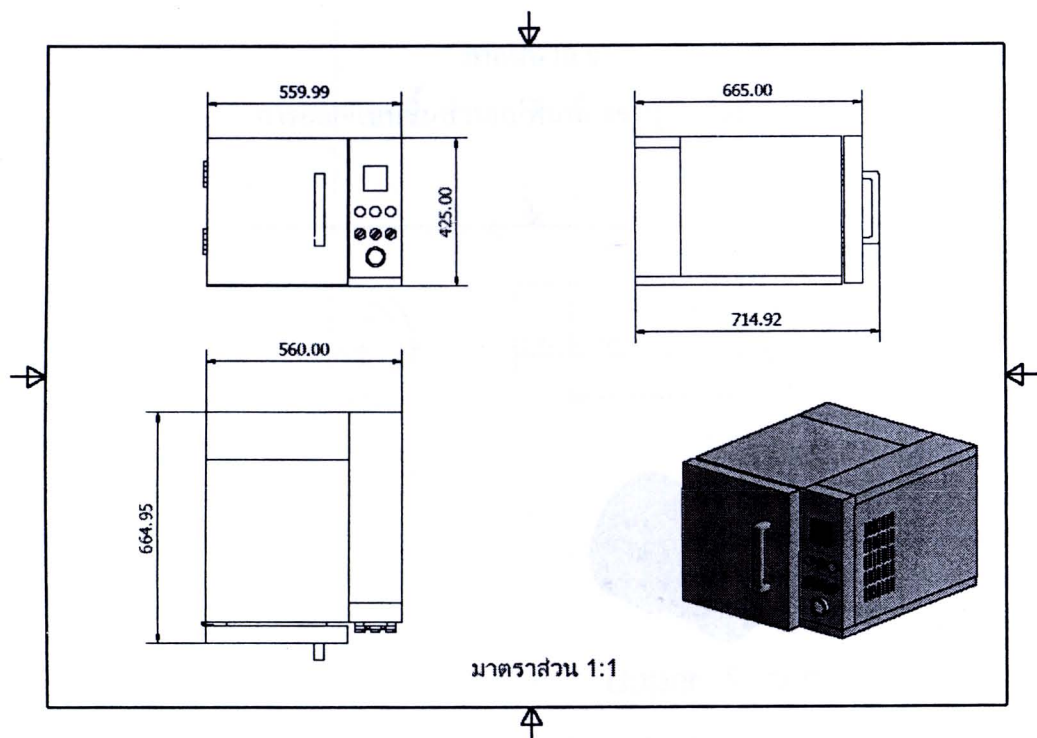




รูปที่ 3.2 แสดงชิตเตอร์สำหรับให้ความร้อนอุณหภูมิไม่เกินกว่า 250°C



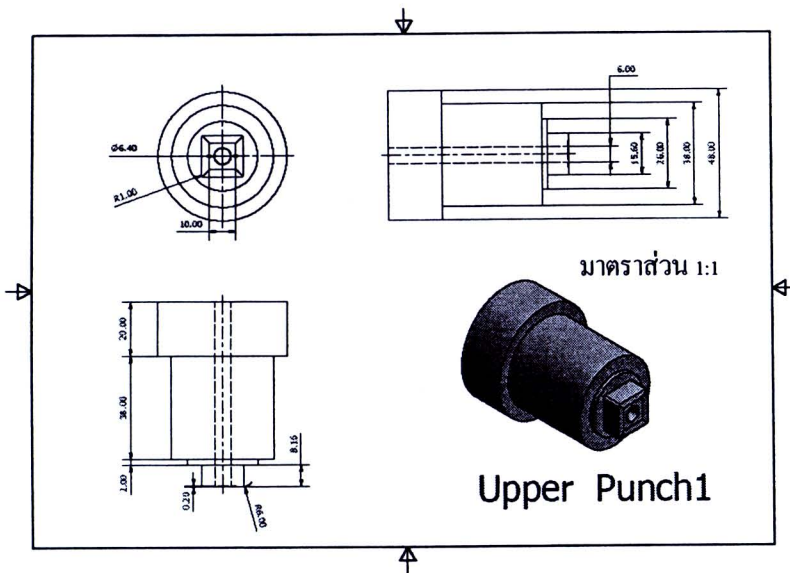
รูปที่ 3.3 ประตูเตาอบ



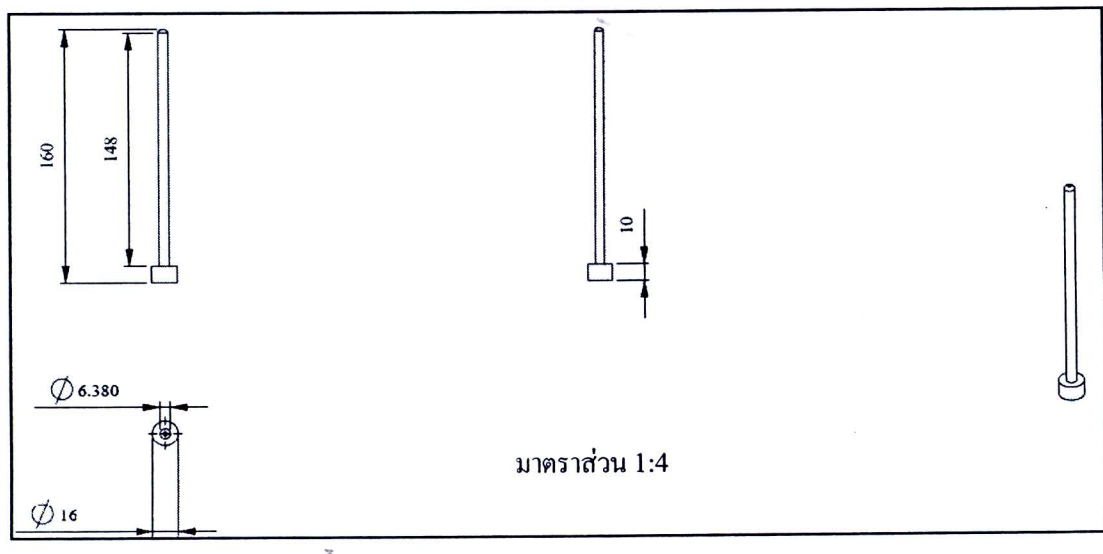
รูปที่ ง.4 โครงเตาอบหลังประกอบแล้ว



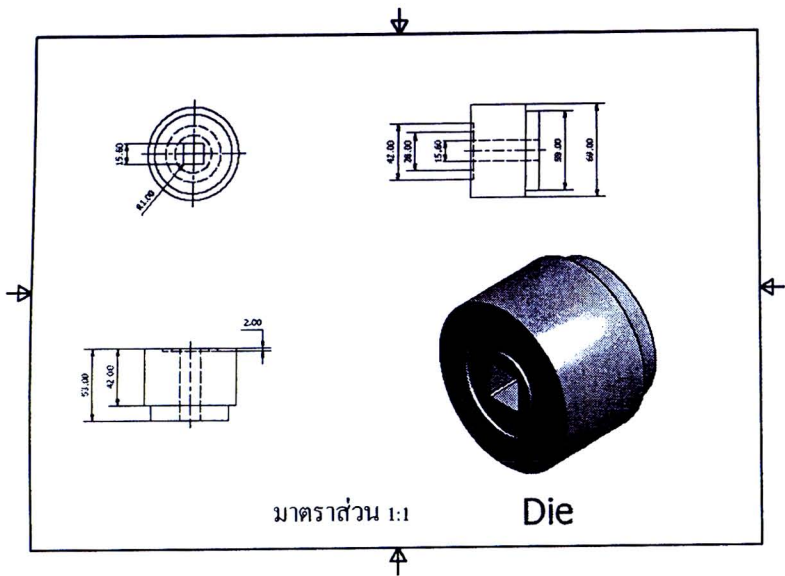
ภาคผนวก จ
การออกแบบชิ้นส่วนแม่พิมพ์อัดขึ้นรูปแผ่นมีดตัด



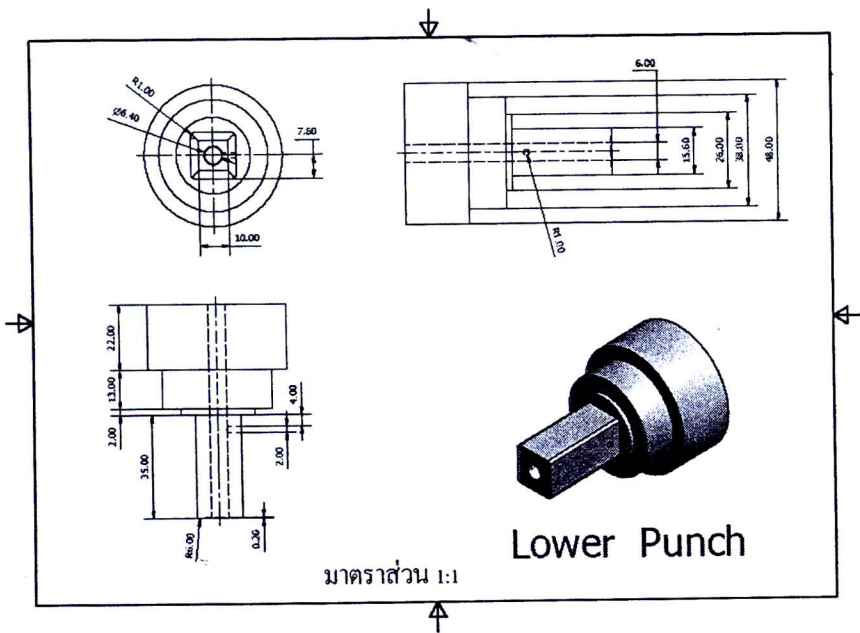
รูปที่ จ.1 การออกแบบชิ้นส่วนแม่พิมพ์ Upper punch



รูปที่ จ.2 การออกแบบชิ้นส่วน Core pin



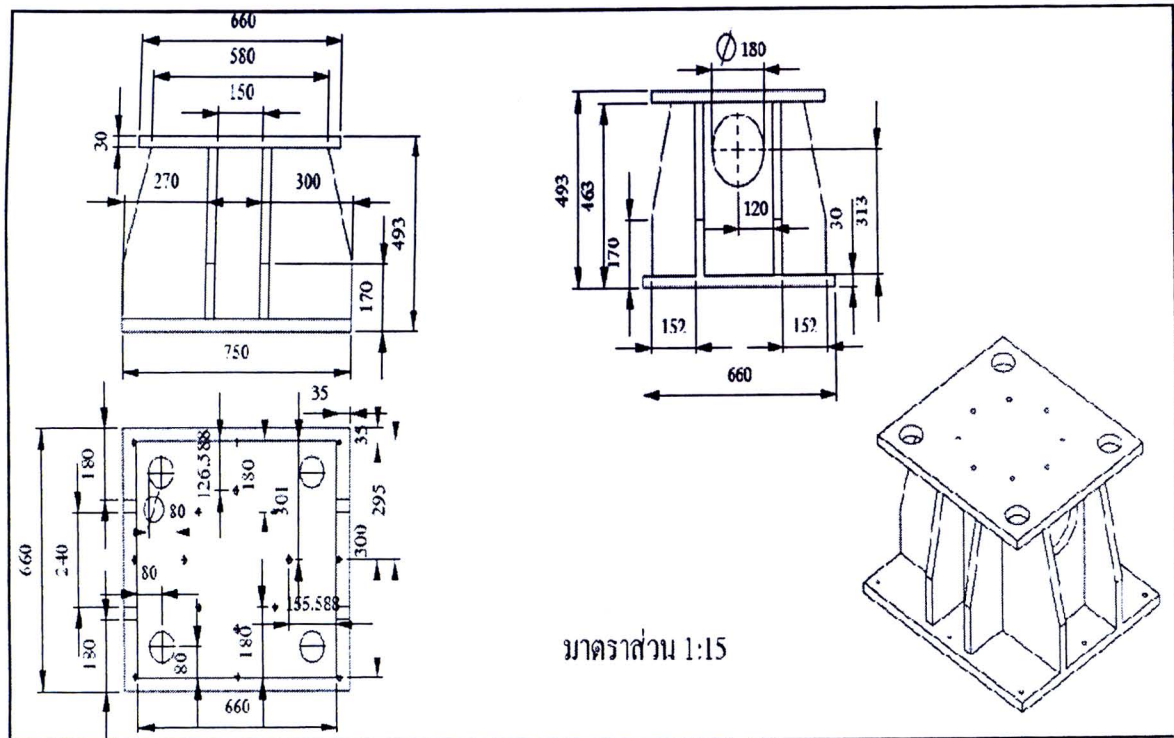
รูปที่ จ.3 การออกแบบชิ้นส่วน Die



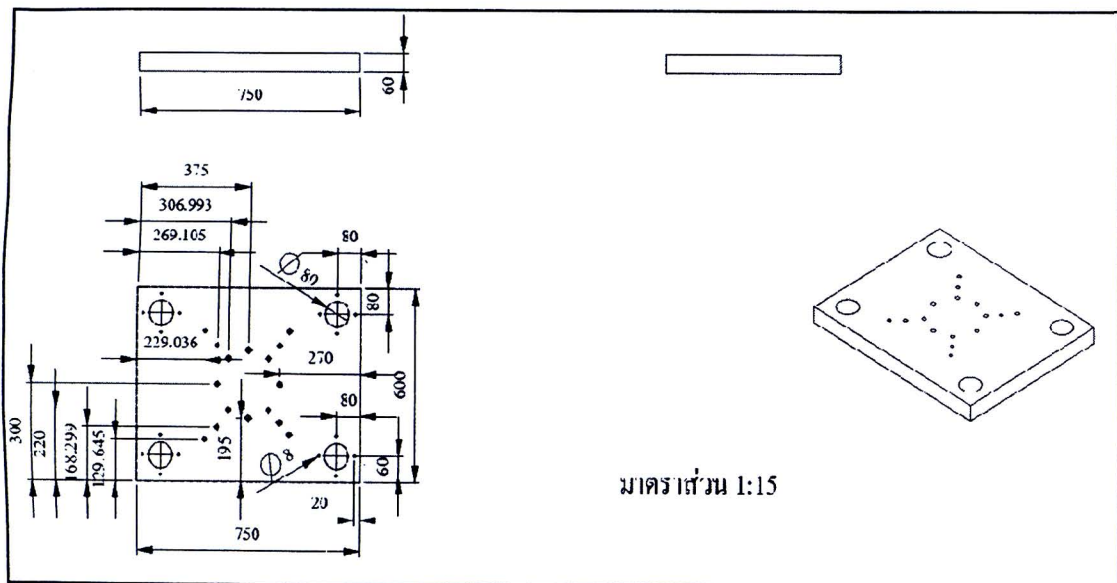
รูปที่ จ.3 การออกแบบชิ้นส่วน Lower punch

ภาคผนวก ฉ

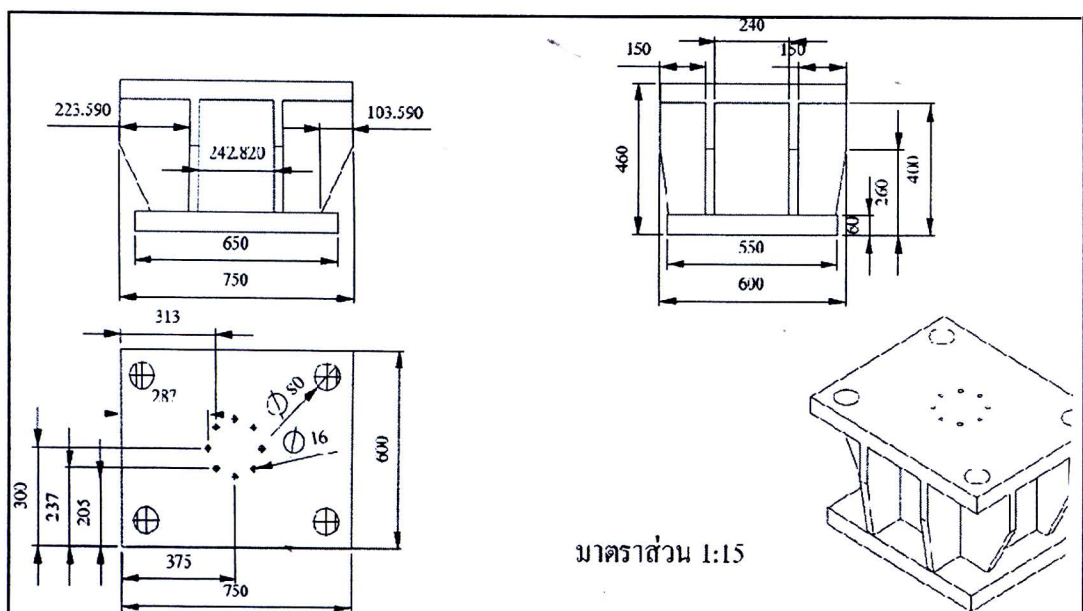
การออกแบบชิ้นส่วนเครื่องจักรระบบไฮดรอลิกส์



รูปที่ ฉ. 1 การออกแบบชิ้นส่วน Base plate



รูปที่ ฉ. 2 การออกแบบชิ้นส่วน Slide plate



รูปที่ ฉ.3 การออกแบบชิ้นส่วน Slide plate



